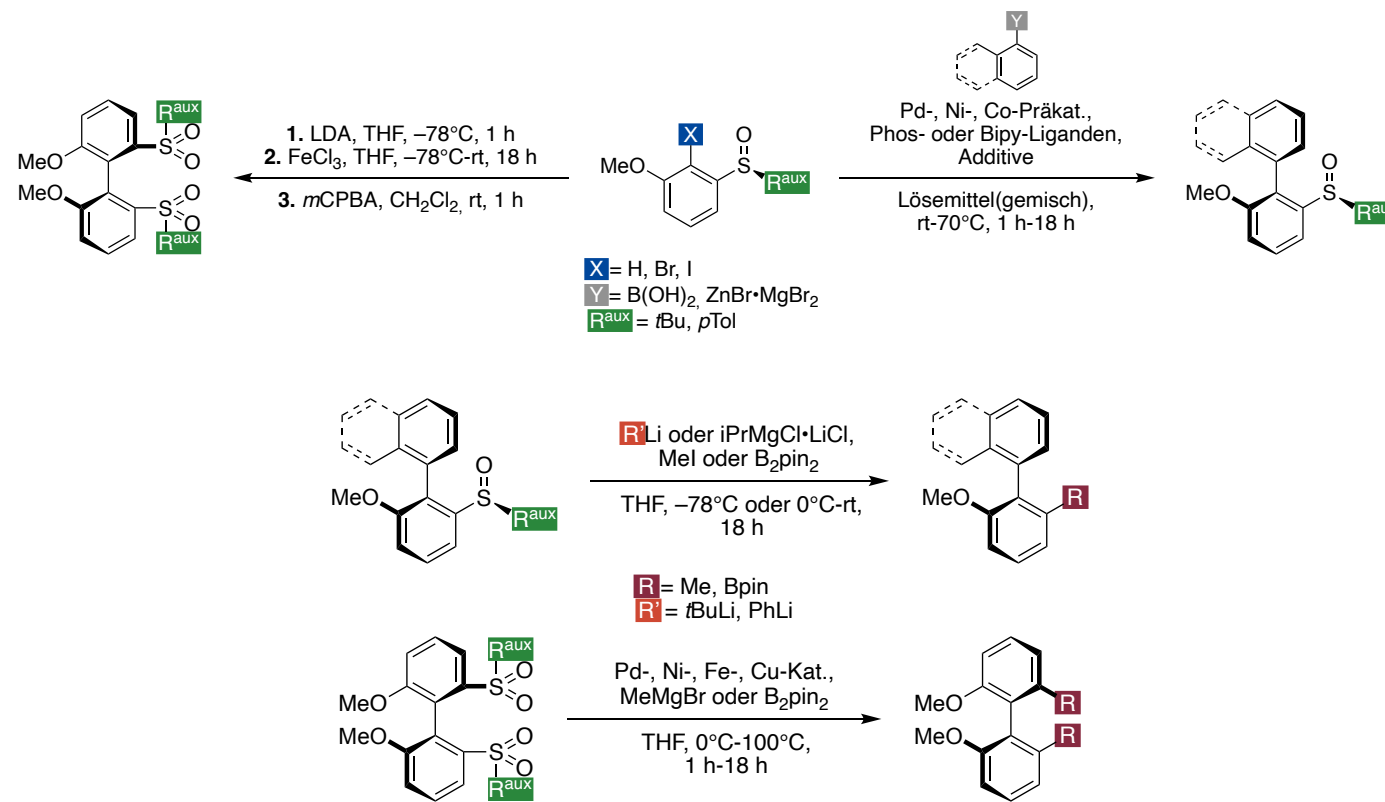
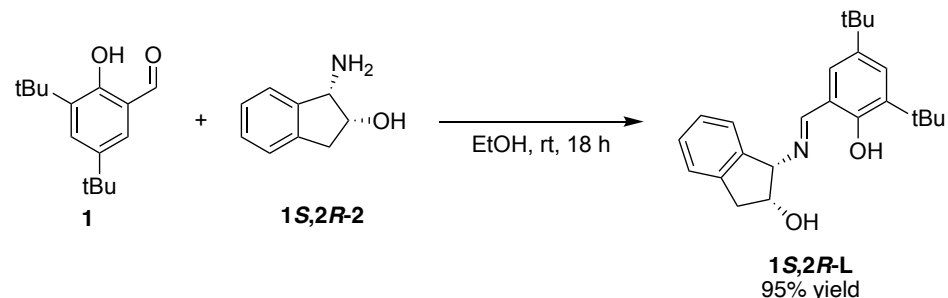


Dirigierende Chirale Sulfoxide in Atropselektiven Kupplungsreaktionen und (De)Funktionalisierungen

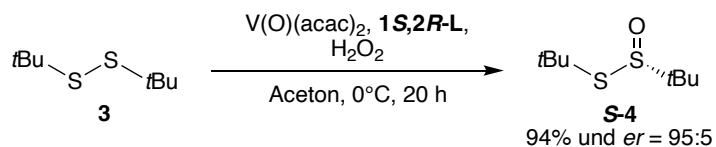


Herstellung der Sulfoxidsubstrate



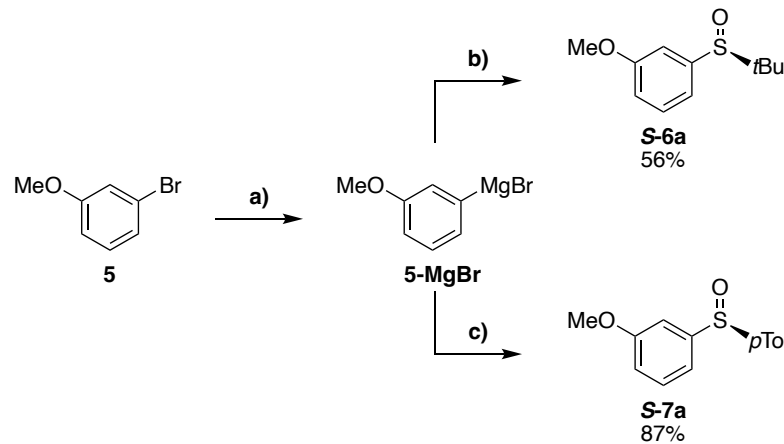
Reaktionsbedingungen:

1 (1.0 equiv.), **1S,2R-2** (1.1 equiv.), EtOH (0.16 M), rt, 18 h.



Reaktionsbedingungen:^[1]

3 (1.0 equiv.), V(O)(acac)₂ (0.5 mol-%), **1S,2R-L** (0.5 mol-%), Aceton (3.0 M), 0°C, 20 h.



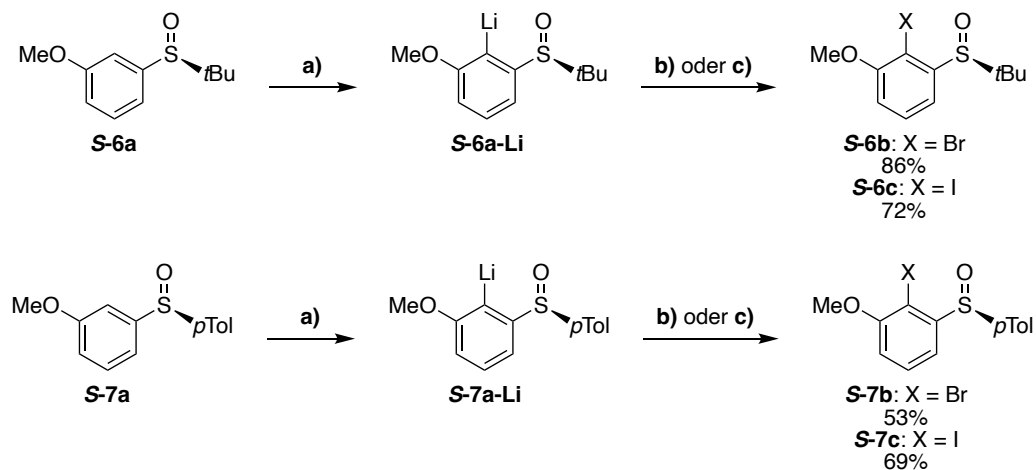
Reaktionsbedingungen:

a) Mg (2.0 equiv.), THF (1.0 M), 80 °C, 2 h.

b) **S-4** (1.2 equiv.), THF (1.0 M), 0 °C-rt, 18 h.

c) (S)-pTolS(O)(-)menth (1.2 equiv.), THF (1.0 M), 0 °C-rt, 18 h.

Herstellung der Sulfoxidsubstrate



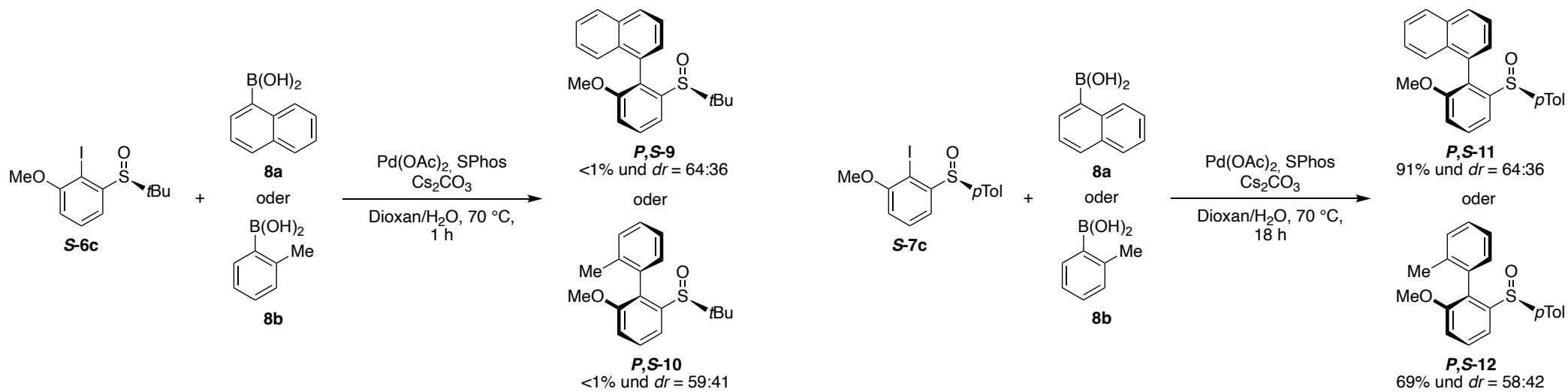
Reaktionsbedingungen:

a) LDA (*n*BuLi (1.2 equiv.), *i*Pr₂NH (1.3 equiv.)), THF (0.6 M), -78 °C, 1 h.

b) (CCl₂Br)₂ (1.2 equiv.), THF (0.85 M), -78-rt, 18 h.

c) I₂ (1.2 equiv.), THF (0.85 M), -78-rt, 18 h.

Suzuki-Kreuzkupplungen



Reaktionsbedingungen:^[2]

S-6c oder **S-7c** (1.0 equiv.), **8a** oder **8b** (2.0 equiv.), Pd(OAc)₂ (10 mol-%), SPhos (15 mol-%), Cs₂CO₃ (4.0 equiv.), Dioxan/H₂O (5:1, 0.1 M), 70°C, 1 h.

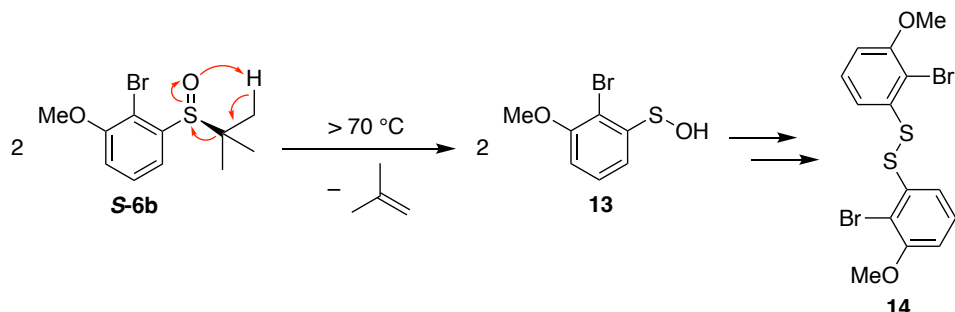
Reaktionsbedingungen:^[2]

S-6c oder **S-7c** (1.0 equiv.), **8a** oder **8b** (2.0 equiv.), Pd(OAc)₂ (10 mol-%), SPhos (15 mol-%), Cs₂CO₃ (4.0 equiv.), Dioxan/H₂O (5:1, 0.1 M), 70°C, 18 h.

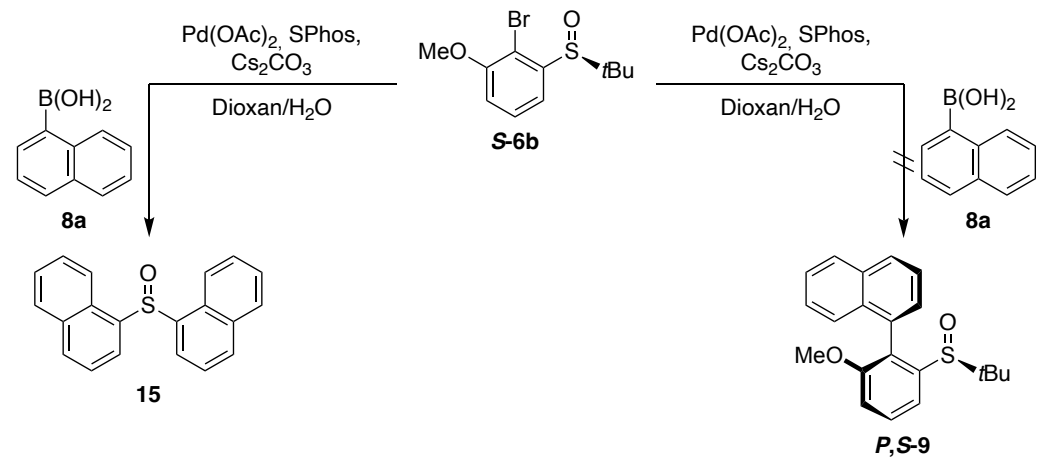
[2] F. Colobert, V. Valdivia, S. Choppin, F. R. Leroux, I. Fernández, E. Álvarez, N. Khiar, *Org. Lett.*, **2009**, 11(22), 5130–5133.

Problematiken beim Einsatz vom *tert*-Butylsulfoxid

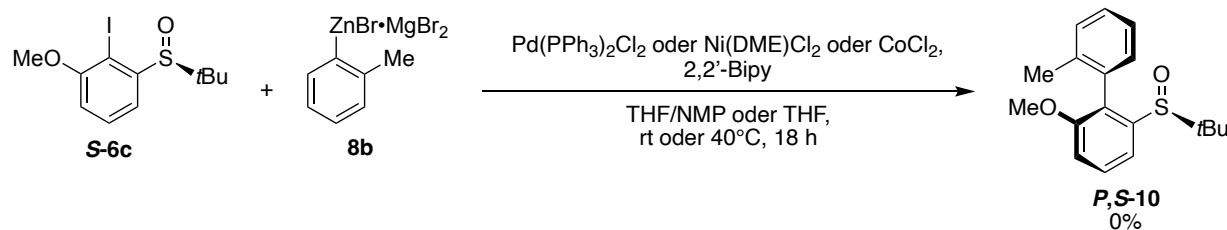
Thermolabilität der *tert*-Butylgruppe:



Favorisierte Nebenreaktion:

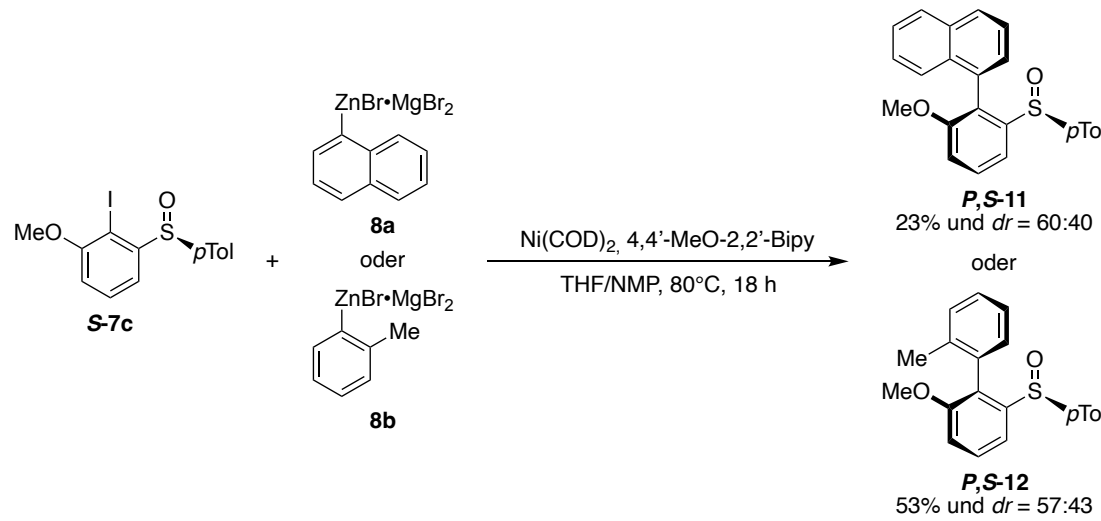


Negishi-Kreuzkupplungen



Reaktionsbedingungen:

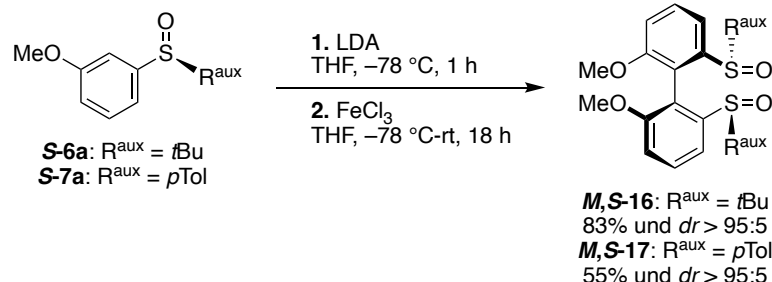
S-6c (1.0 equiv.), **8b** (2.0 equiv.), Pd(PPh_3)₂ (10 mol-%) oder Ni(DME)Cl₂ (20 mol-%) oder CoCl₂ (30 mol-%), 2,2'-Bipy (30 mol-%), THF/NMP (4:1, 0.2 M) oder THF (0.2 M), rt oder 40°C, 18 h



Reaktionsbedingungen:

S-7c (1.0 equiv.), **8a** oder **8b** (2.0 equiv.), Ni(COD)₂ (10 mol-%), 4,4'-MeO-2,2'-Bipy (15 mol-%) THF/NMP (4:1, 0.2 M), 80°C, 18 h

Homokupplungen und Oxidation

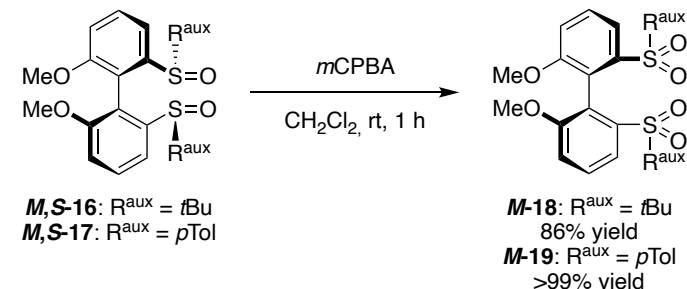


Reaktionsbedingungen:^[3]

S-6a oder **S-7a** (1.0 equiv.)

1. LDA (*n*BuLi (1.2 equiv.), *i*Pr₂NH (1.3 equiv.)), THF (0.6 M), -78°C, 1 h.

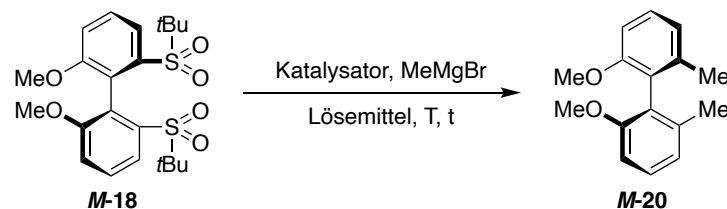
2. FeCl₃ (1.2 equiv.), THF (0.35 M), -78 °C-rt, 18 h.



Reaktionsbedingungen:

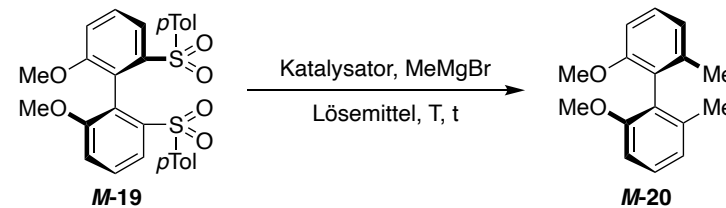
S-16a oder **S-17a** (1.0 equiv.), *m*CPBA (3.0 equiv.), CH₂Cl₂ (0.34 M), rt, 1 h.

Funktionalisierung der Disulfonbiaryle



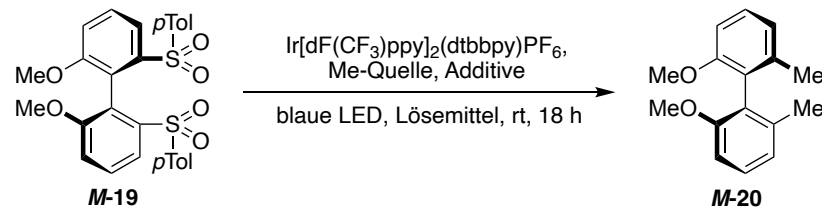
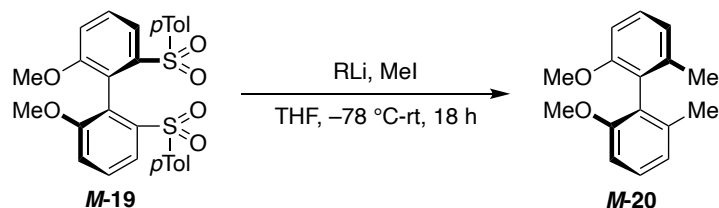
Eintrag	Katalysator	MeMgBr [equiv.]	Lösungsmittel	T [°C]	t [h]	
1	Ni(acac) ₂ (20 mol-%)	4.0	THF (0.1 M)	80	1	
2	Pd(PPh ₃)Cl ₂ (10 mol-%)	4.0	THF (0.1 M)	80	1	
3	FeCl ₃ (10 mol-%)	3.0	THF (0.1 M)	rt	18	Weder Edukt noch Produkt isolierbar
4	Fe(acac) ₃ (10 mol-%)	3.0	THF (0.1 M)	rt	18	
5	IMesCuCl (10 mol-%)	3.0	Toluol (0.1 M)	100	5	→ Edukt wieder isoliert

Funktionalisierung der Disulfonbiaryle



Eintrag	Katalysator	MeMgBr [equiv.]	Lösemittel	T [°C]	t [h]	
1	Ni(acac) ₂ (20 mol-%)	10.0	THF (0.1 M)	80	1	Defunktionalisierung der Sulfone
2	Pd(PPh ₃)Cl ₂ (10 mol-%)	10.0	THF (0.1 M)	80	1	
3	FeCl ₃ (10 mol-%)	10.0	THF (0.1 M)	rt	18	
4	Fe(acac) ₃ (10 mol-%)	10.0	THF (0.1 M)	rt	18	Edukt wieder isoliert
5	IMesCuCl (10 mol-%)	10.0	Toluol (0.1 M)	100	5	
6	Ni(PCy ₃) ₂ Cl ₂ (20 mol-%)	10.0	THF (0.1 M)	80	18	

Funktionalisierung der Disulfonbiaryle



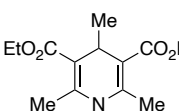
Eintrag	RLi	MeI [equiv.]	Konzentration [M]
1	<i>t</i> BuLi	10.0	0.05
2	PhLi	10.0	0.2

Weder Edukt noch Produkt isolierbar

Methylierung der *para*-Tolylgruppe

Eintrag	Me-Quelle	Additive	Lösemittel
1 ^[4]	MeI (3.0 equiv)	K ₂ CO ₃ (2.0 equiv.), (TMS) ₃ SiH (1.2 equiv.)	MeCN (0.05 M)
2 ^[5]	MeB(OH) ₂ (4.0)	K ₃ PO ₄ (1.5 equiv.)	CH ₂ Cl ₂ /EtOAc (2:1, 0.1 M)
3 ^[6]	---		EtOAc (0.1 M)

(1.2 equiv.)



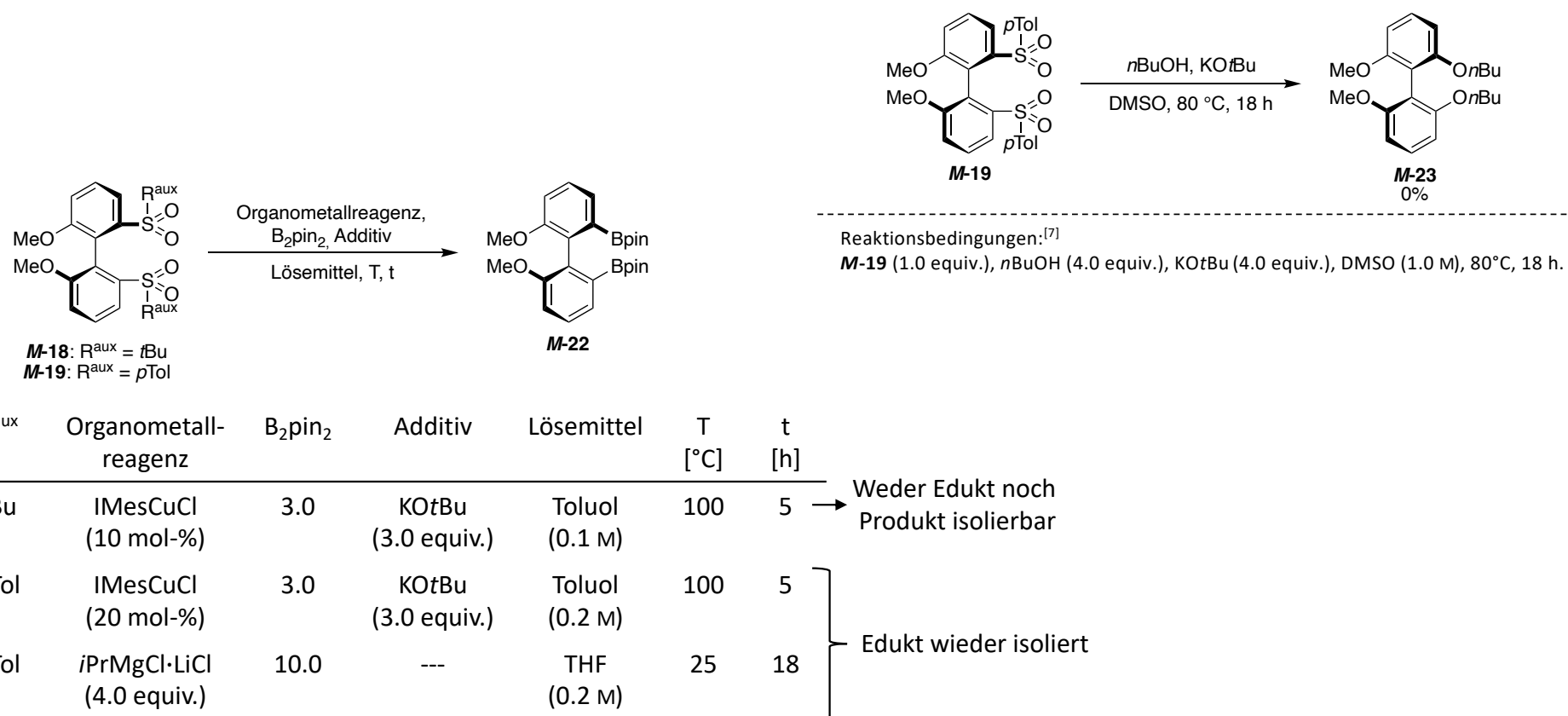
Edukt wieder isoliert

[4] Q.-Q. Zhou, S. J. S. Düsé, L.-Q. Lu, B. König, W.-J. Xiao, *Chem. Commun.*, **2019**, 55, 107–110.

[5] F. Yue, J. Dong, Y. Liu, Q. Wang, *Org. Lett.*, **2021**, 23, 2477–2481.

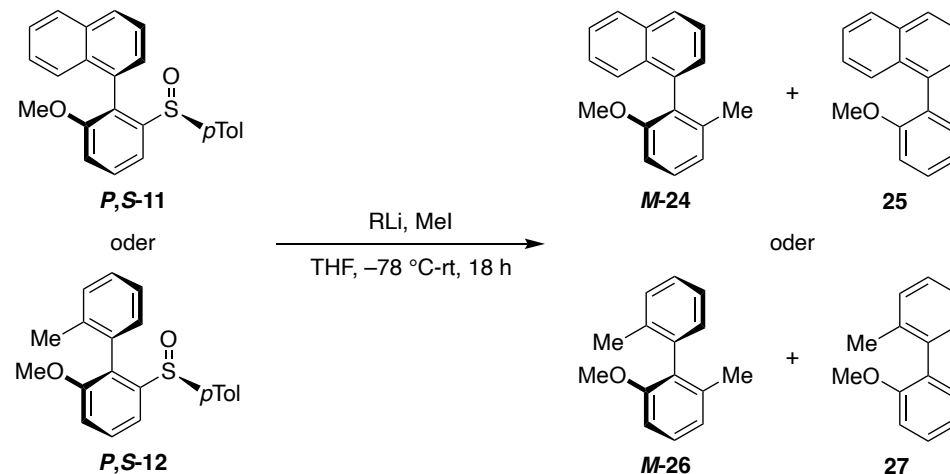
[6] F. Yue, J. Dong, Y. Liu, Q. Wang, *Org. Biomol. Chem.*, **2021**, 19, 8924–8928.

Funktionalisierung der Disulfonbiaryle



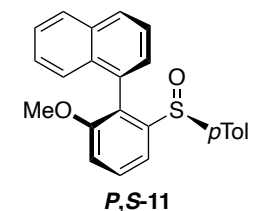
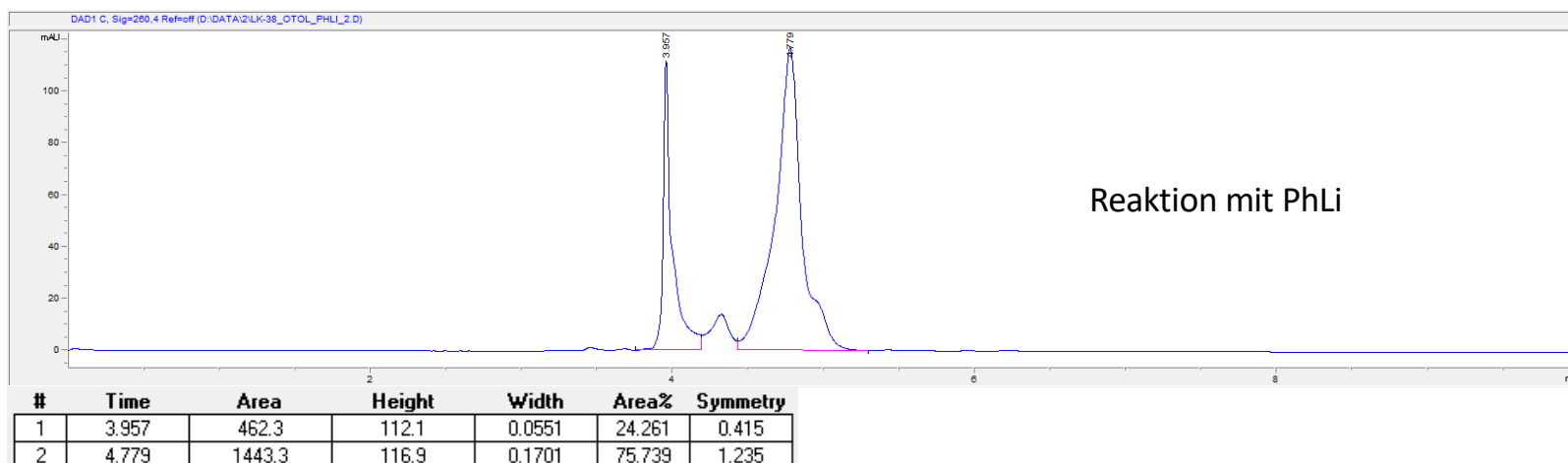
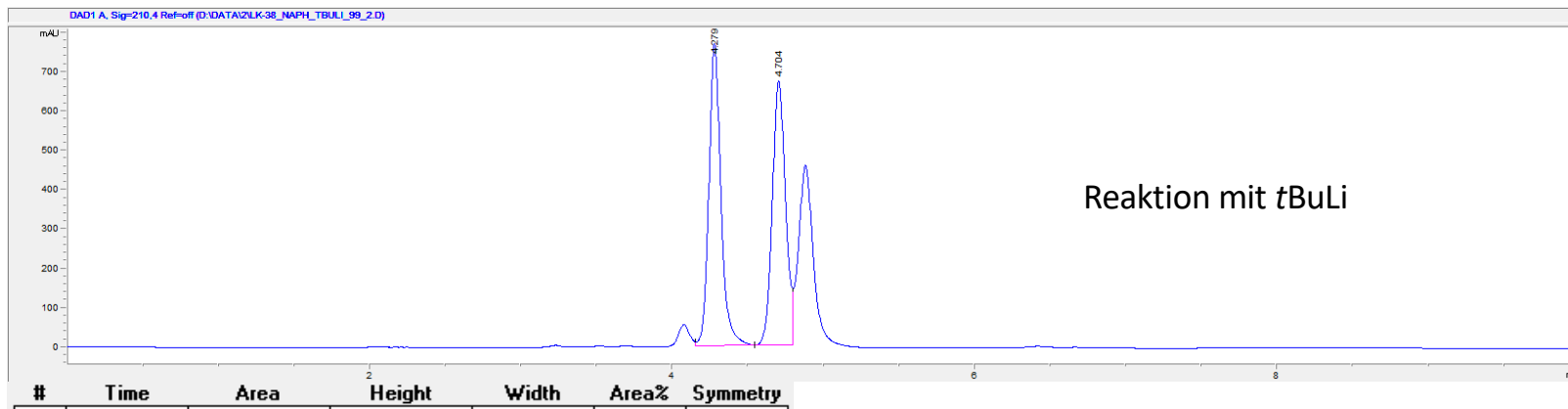
[7] J. Bai, T. Wang, B. Dai, Q. Liu, P. Yu, T. Jia, *Org. Lett.*, **2021**, 23, 5761–5765.

Funktionalisierung der Sulfoxidbiaryle



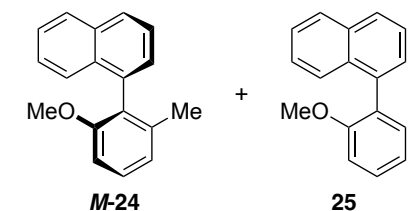
Eintrag	P,S-11 oder P,S-12 (dr)	RLi	MeI [equiv.]	Konzentration [M]	Produktverhältnis [M-24:25] oder [M-26:27]	er
1	P,S-11 (64:36)	<i>t</i> BuLi (4.0 equiv.)	10.0	0.05	2.5:1	n.d.
2	P,S-12 (58:42)	<i>t</i> BuLi (4.0 equiv.)	10.0	0.05	2.1:1	61:39
3	P,S-11 (64:36)	PhLi (4.0 equiv.)	10.0	0.05	11.5:1	n.d.
4	P,S-12 (58:42)	PhLi (4.0 equiv.)	10.0	0.05	12.0:1	66:34

Funktionalisierung der Sulfoxidbiaryle

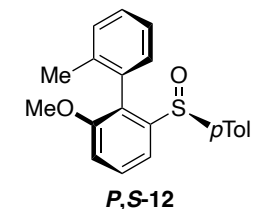
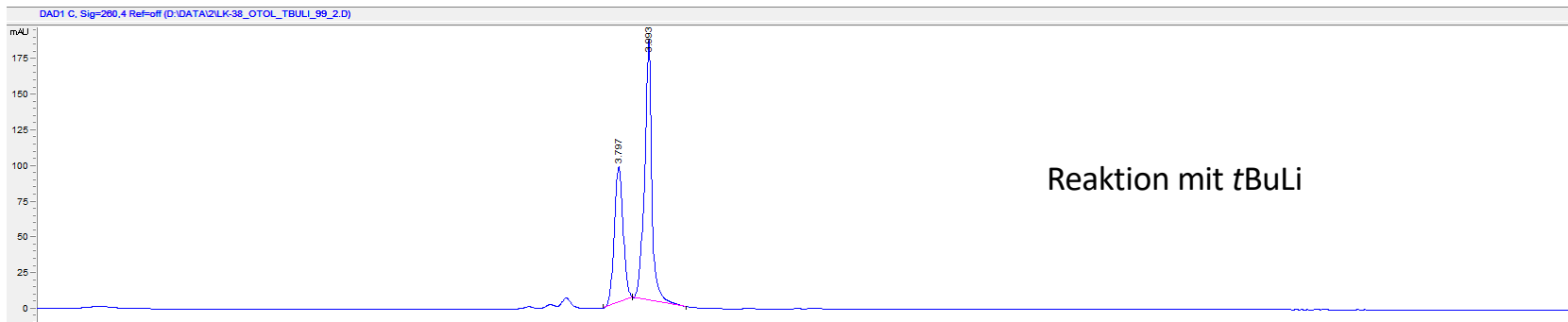


THF, -78 °C-rt,
18 h

RLi, MeI

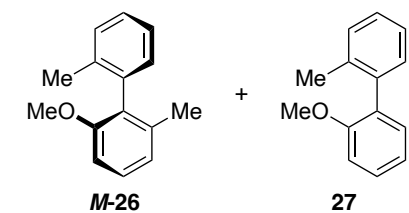
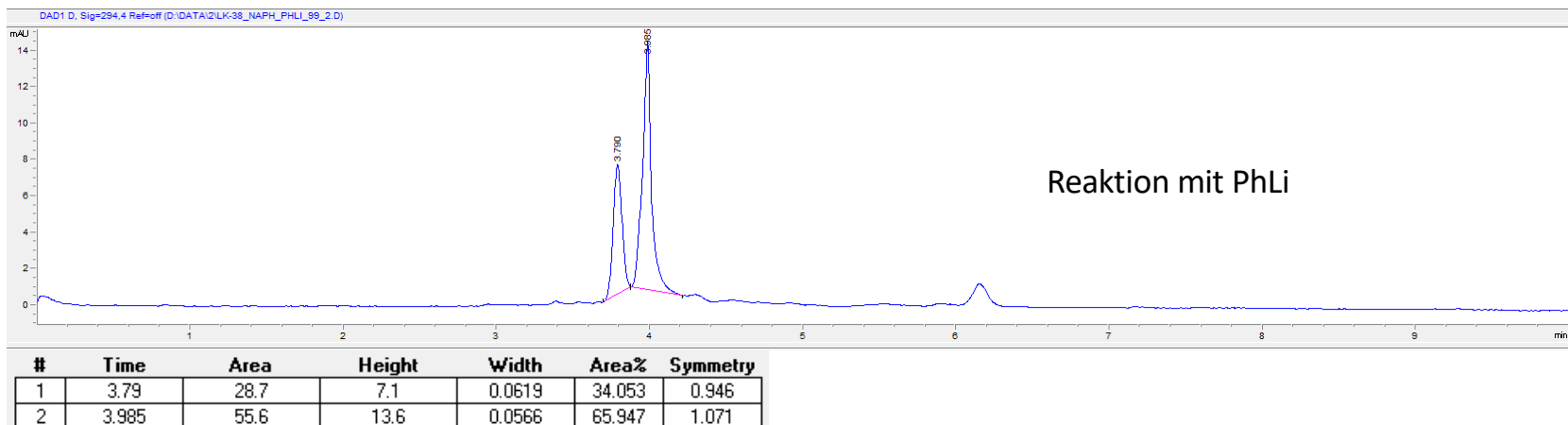


Funktionalisierung der Sulfoxidbiaryle

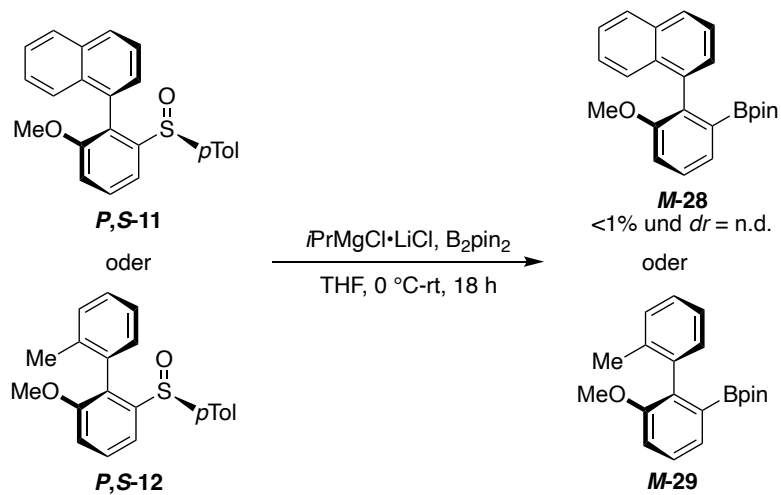


THF, -78 °C-rt,
18 h

RLi, MeI

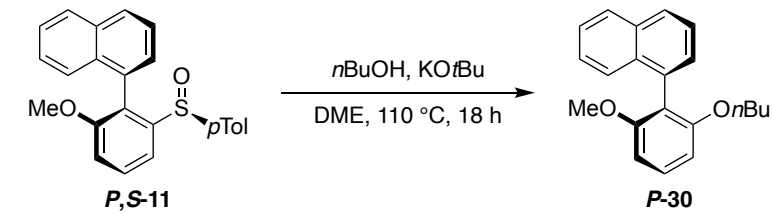


Funktionalisierung der Sulfoxidbiaryle



Reaktionsbedingungen:^[8]

P,S-11 oder **P,S-12** (1.0 equiv.), *iPrMgCl-LiCl* (2.0 equiv.), $B_2\text{pin}_2$ (5.0 equiv.), THF (0.25 M), 0°C-rt, 18 h.



Reaktionsbedingungen:^[7]

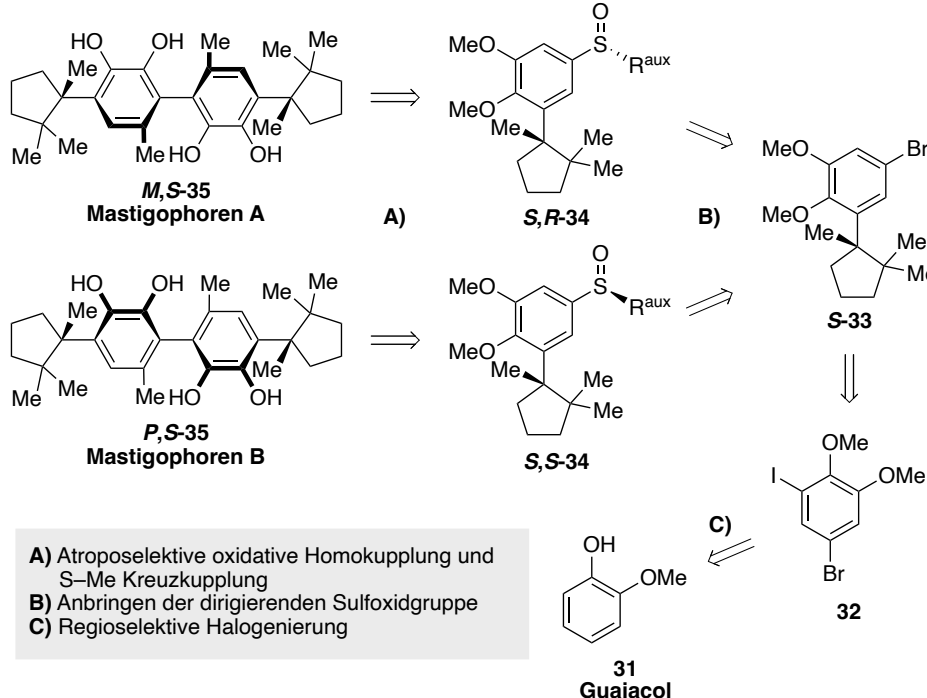
P,S-11 (1.0 equiv.), *nBuOH* (2.0 equiv.), $K\text{OtBu}$ (2.0 equiv.), DME (0.5 M), 110°C, 18 h.

[7] J. Bai, T. Wang, B. Dai, Q. Liu, P. Yu, T. Jia, *Org. Lett.*, **2021**, 23, 5761–5765.

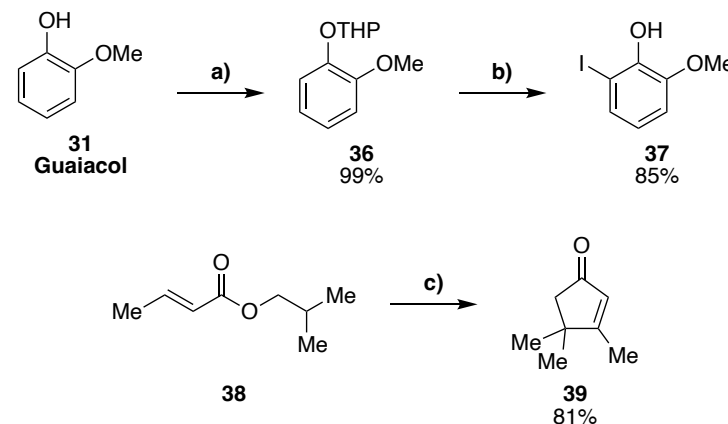
[8] J. Bortoluzzi, V. Jha, G. Levitre, M. J. Fer, J. Berreur, G. Masson, A. Panossian, F. R. Leroux, *J. Org. Chem.*, **2018**, 83, 7751–7761.

Fortschritt in der Totalsynthese von Mastigophoren

Retrosynthetische Überlegung:



Bisheriger Fortschritt:



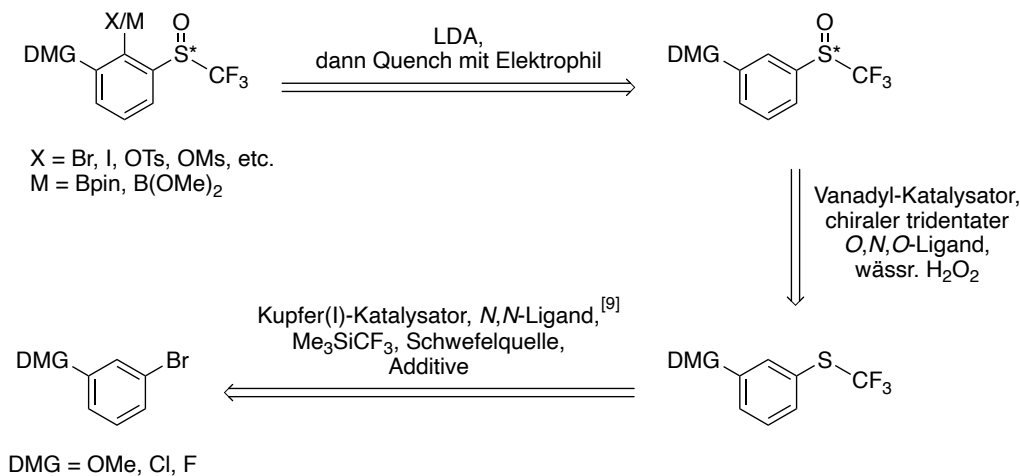
Reaktionsbedingungen:

- a) DHP (10.0 equiv.), PPTS (10 mol-%), CH₂Cl₂ (1.1 M), rt, 4 h.
- b) nBuLi (1.5 equiv.), I₂ (2.0 equiv.), THF (0.5 M), -78°C-rt, 18 h.
- c) PPA (1.0 M), 120°C, 4 h.

Ausblick und zukünftige Ambitionen

Trifluormethylgruppe als Alternative

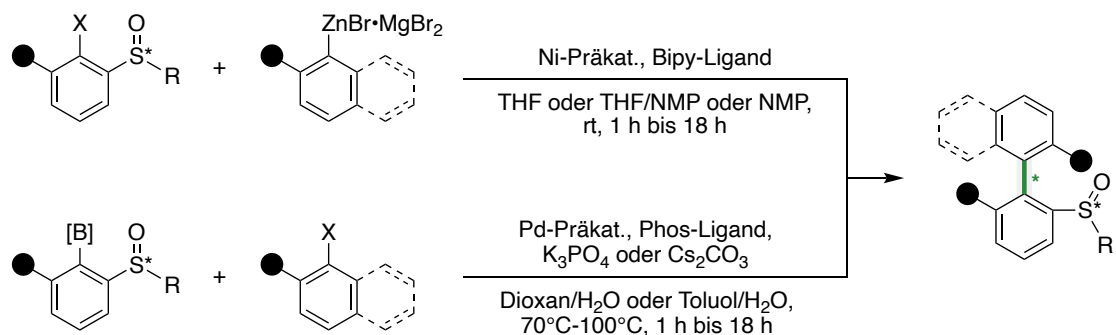
Herstellung der Substrate:



Ausblick und zukünftige Ambitionen

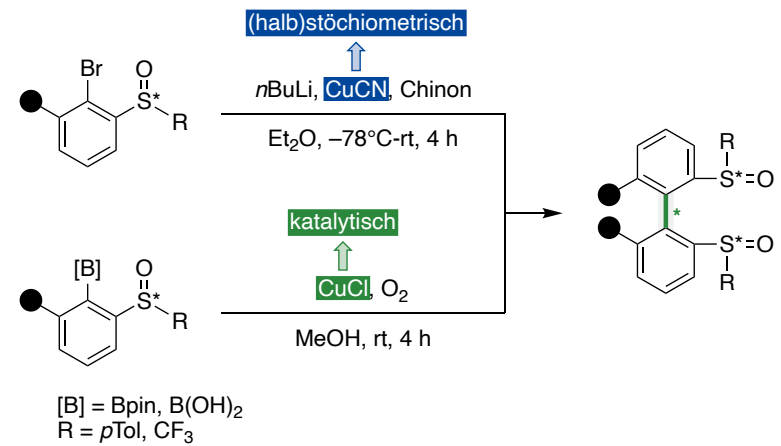
Kupplungsreaktionen

Kreuzkupplungen:



X = Br, I, OTs, OMs, etc.
[B] = Bpin, B(OH)₂
R = pTol, CF₃

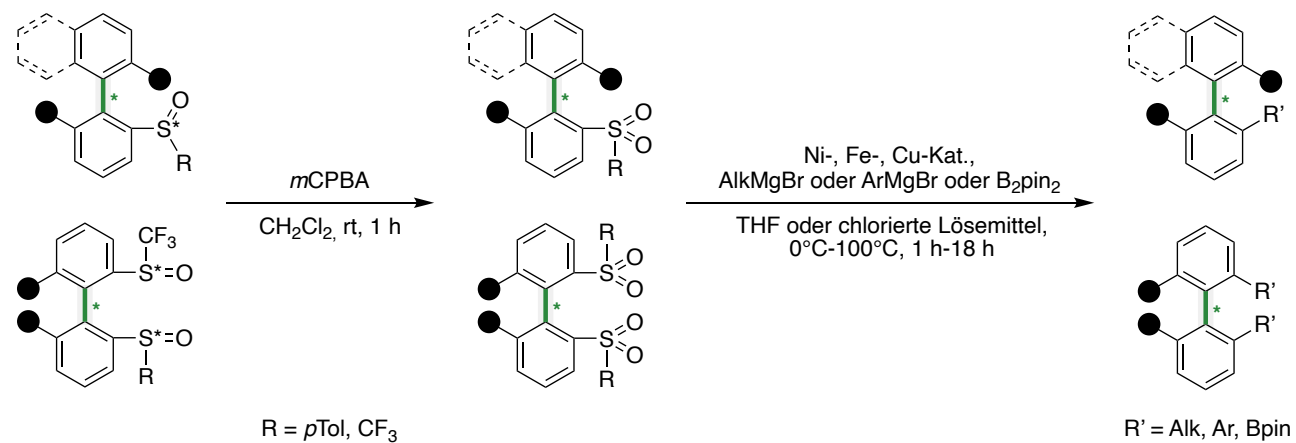
Homokupplungen:^[10]



[B] = Bpin, B(OH)₂
R = pTol, CF₃

Ausblick und zukünftige Ambitionen

Funktionalisierungsreaktionen



**Vielen Dank für
die Aufmerksamkeit**